

پلازیو کلاز به عنوان شاهدی از تحولات سیستم ماسه‌گامایی کانسار مس پورفیری ظفر قند، شمال شرق اصفهان

مریم امین‌الرعايايی یمینی^{۱*}، فرامرز طوطی^۱، محمد رضا امین‌الرعايايی یمینی^۲ و جمشید احمدیان^۳

۱) دانشکده زمین‌شناسی، پردیس علوم، دانشگاه تهران، تهران، ایران

۲) دانشکده مهندسی معدن، دانشگاه صنعتی اصفهان، اصفهان، ایران

۳) گروه زمین‌شناسی، دانشگاه پیام نور، ایران

دریافت مقاله: ۱۳۹۴/۰۵/۲۰، پذیرش: ۱۳۹۵/۰۷/۰۷

چکیده

کانسار مس پورفیری ظفر قند در شمال شرق اصفهان و در بخش مرکزی کمان ماسه‌گامایی ارومیه-دختر واقع شده است. این کانسار با دارابودن پهنه‌های دگرسانی پتاسیک، فیلیک، آرژیلیک و پروپیلیتی در نتیجه نفوذ استوک پورفیری (گرانودیوریت با سن ۲۱-۱۹ میلیون سال) در واحدهای آتشفسانی و نیمه نفوذی با سن ۵۶ میلیون سال تشکیل شده است. پیریت، کالکوپیریت، بورنیت و مولیبدنیت با بافت‌های گوناگون افshan و رگه‌ای، کانی‌های سولفیدی اولیه و کوولیت و کالکوسبیت از سولفیدهای ثانویه این کانسار به شمار می‌آیند. در این پژوهش با بررسی داده‌های ریزبافت‌ها و منطقه‌بندی $An\%-FeO$ در درشت بلورهای پلازیو کلاز موجود در این سنگ‌ها، مدل ژرف‌یابی ماسه‌گامایی برای سنگ‌های نفوذی-آتشفسانی میزان کانسار مس پورفیری ظفر قند پیشنهاد می‌شود که تبلور در آشیانه ماسه‌گامایی پوسته‌ای اساساً توسط فرآیند رشد-انحلال و اختلاط ماسه‌گامایی مافیک در پوسته انجام شده و احتمالاً مقادیر زیادی مس برای کانی‌زایی در این کانسار فراهم کرده است.

واژه‌های کلیدی: پلازیو کلاز، مدل ژرف‌یابی ماسه‌گامایی، مس پورفیری ظفر قند، کمان ماسه‌گامایی ارومیه دختر

مقدمه

(1982) با استفاده از زونینگ ترکیبی پلازیو کلاز، فرآیندهای تبلور را در توده گرانودیوریتی راکی‌هیل در کالیفرنیا بررسی کردند. Barca and Trua (2012) نحوه جایگیری ماسه‌گامایی را با استفاده از بلورهای پلازیو کلاز بازالت‌های مارسیلی مطالعه کردند. همچنین کاوو و همکاران (Halter et al., 2014) و هالتر و همکاران (Cao et al., 2014) بر اساس فرآیندهای ماسه‌گامایی ثبت شده در پلازیو کلازهای کانسارهای مس پورفیری به بحث در مورد

امروزه استفاده از میکروبافت‌های پلازیو کلاز برای بررسی تاریخچه جایگزینی توده نفوذی و تحولات ماسه‌گامایی بسیار رایج شده است. تا جایی که ویکارو و همکاران (Viccaro et al., 2010) فرآیندهای دینامیک ماسه‌گامایی در آتشفسان آتنا را با استفاده از ویژگی‌های بافتی و ترکیبی پلازیو کلازها مورد بررسی قرار داده‌اند. Renjith (2014) نحوه و جایگاه تشکیل هر میکروبافت پلازیو کلاز را در آتشفسان بارن آبلند مورد بررسی Loomis and Welber (Loomis and Welber, 2005) قرار داده است. لومیس و ولبر

کیلومتری شمال شرق اصفهان در ایران مرکزی واقع شده است. این کانسار بخشی از نقشه ۱:۱۰۰۰۰۰ اردستان (Radfar, 1998) با مختصات جغرافیایی بین طول شرقی $۵۲^{\circ}۲۳'۳۰''$ تا $۵۲^{\circ}۲۵'۵۵''$ و عرض شمالی $۳۳^{\circ}۹'۵۷''$ تا $۳۳^{\circ}۱۰'۲۷''$ است (شکل ۱-۱). در این کانسار بخشی از توده گرانیتوئید ظفرقدن با ترکیب گرانودیوریت به صورت استوک در سنگ‌های آتشفسانی نفوذ کرده است (Aminoroayaee Yamini, et al., 2016a). از نظر زمین‌ساختی مجموعه ماجمایی تحت تأثیر تغییر شکل شکننده در قالب چهار نوع گسل قرار گرفته است (شکل ۱-۱B). گسل‌های N-S، گسل‌های NW-SE، گسل‌های E-W و گسل‌های NE-SW که شامل رگه‌های کانی‌زایی منطقه ظفرقدن می‌شوند. گسل‌های جوان‌تر E-W ساختارهای کانی‌زایی شده را قطع کرده؛ تا جایی که خود توسط گسل‌های جوان‌تر NE-SW قطع شده‌اند.

سنگ‌های آتشفسانی ائوسن (ca. 56 Ma) (Chiu et al., 2013) سازندگان اصلی منطقه هستند. این سنگ‌ها در برگیرنده داسیت‌ها، ریوداسیت‌ها و آندزیت‌ها هستند که با بافت هیالوپورفیریک و یا میکروگرانولار پورفیریک دیده می‌شوند. مهمترین درشت‌بلورهای آنها شامل کوارتز، پلاژیوکلاز و کانی‌های مافیک است. این درشت‌بلورها در زمینه‌ای دانه‌ریز از کوارتز-فلدسبار واقع شده‌اند. کانی فرعی موجود در این سنگ‌ها شامل اسفن، آپاتیت و زیرکن است.

سنگ‌های نیمه نفوذی به صورت دو دسته دایک در منطقه دیده می‌شوند که شامل دایک‌های آندزیتی-داسیتی پیش‌رس یا نسل اول و دایک‌های آندزیتی-بازالتی سین پلوتونیک یا نسل دوم است (Sadeghian and Ghaffary, 2011). دایک‌های آندزیتی-داسیتی پیش‌رس، سنگ‌های آتشفسانی و آتشفسانی-رسوبی ائوسن را قطع می‌کنند. این دایک‌ها اغلب دارای امتداد شرقی-غربی و شمال‌غربی-جنوب‌شرقی هستند. از آنجایی که این دایک‌های آندزیتی-داسیتی توسط توده گرانیتوئیدی ظفرقدن قطع شده‌اند و قطعاتی از آنها به صورت آنکلاو توسط گرانودیوریت‌ها به دام افتاده‌اند؛ قدیمی‌تر از توده نفوذی

خاستگاه مس این کانسارها پرداختند؛ زیرا پلاژیوکلاز، کانی رایج در سنگ‌های کمان‌های آتشفسانی است. در بازه گستردگی از دمای پایین تا بالا از ماجمای مبتلور می‌شود و به عنوان یک کانی پایدار در طول سردشدن و فوران ماجمای است. همچنین الگوهای منطقه‌بندي ترکیبی در طول رشد اولیه این کانی ظهور پیدا می‌کند؛ زیرا انتشار CaAl-NaSi در ساختار بلوری نسبتاً آرام است (Grove et al., 1984).

کانسار مس ظفرقدن در بخش مرکزی کمان ماجمای ارومیه دختر واقع شده است. این کانسار اغلب از توده‌های نفوذی تا آتشفسانی با ترکیب حدواتسط تا اسیدی تشکیل شده است. از دیدگاه ژئوشیمیابی و پترولوجیک بر روی این توده، سنگ‌های آتشفسانی و آتشفسانی رسوبی میزبان این توده و توده‌های گرانیتوئیدی هم‌جوار، بررسی‌های متعددی انجام شده است. نصر Nasr Esfahani and Vahabi (2010) جایگاه ماجمایی و زمین‌ساختی الیگوسن در جنوب اردستان را مورد بررسی قرار داده است. گوانجی (Gavanji, 2010) به روش AMS، سازوکار جایگزینی توده گرانیتوئیدی جنوب ظفرقد را بررسی کرده است. صادقیان و غفاری (Sadeghian and Ghaffary, 2011) به بررسی پژوهش این توده پرداخته‌اند. امین‌الرعایایی (Aminoroayaee Yamini et al., 2016b) ضمن معرفی کانسار مس پورفیری در منطقه ظفرقدن، کانی‌شناسی، دگرسانی، ژئوشیمی دگرسانی و کانی‌زایی مس را در این کانسار مورد بحث و بررسی قرار داده‌اند. در تأیید و تکمیل پژوهش‌های قبلی، در این پژوهش سعی شده است تا با بررسی نیم‌رخ‌های کانی‌شناسی ترکیبی و ریزبافت‌های پلاژیوکلاز در توده‌های نفوذی و نیمه نفوذی، روند رشد این بلورها در جریان صعود ماجمای شیوه‌سازی شود و پدیده‌های تزریق و اختلاط در آشیانه ماجمایی در منطقه مورد بررسی قرار گیرند.

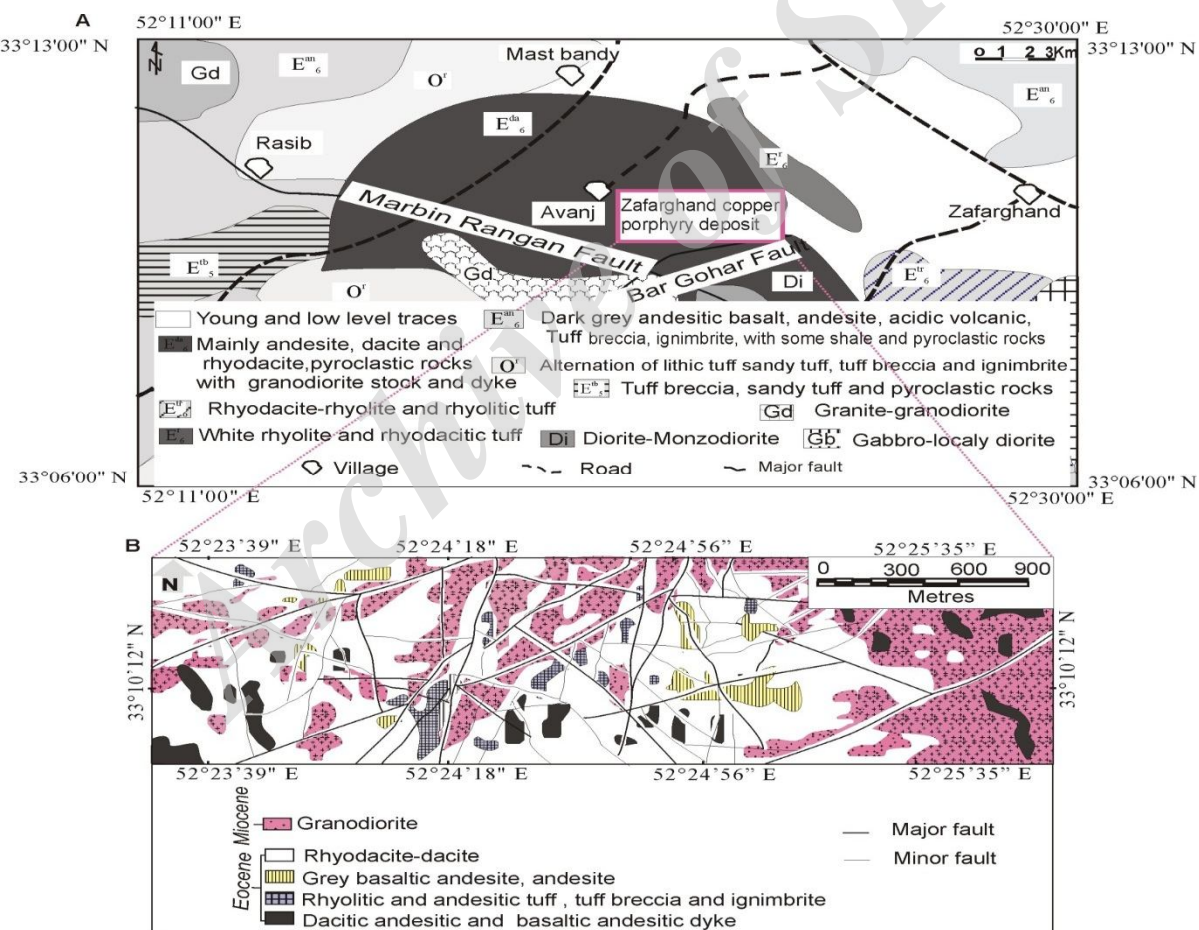
زمین‌شناسی منطقه

کانسار مس پورفیری ظفرقد در جنوب شرقی اردستان،

اندازه‌های بین چند میلی‌متر تا چند سانتی‌متر یافت می‌شوند. کانی‌زایی مس در منطقه ظفرقدن در همه انواع سنگی وجود دارد. سن کانی‌زایی حداقل ۲۱ میلیون سال و هم‌زمان با کوه‌زایی آلپ-هیمالیاست و در انواع پراکنده (شکل A-۲)، استوکورک و رگه‌ای-رگه‌چه‌ای (شکل B-۲) دیده می‌شود (Aminoroayaee Yamini, et al., 2016b). شکل C-۲ و D، حضور کانی‌های سولفیدی (بورنیت، کالکوپیریت، کوولیت و مولیبدنیت) را در زمینه درشت‌بلورهای سیلیکاته (بیوتیت و آمفیبول) نشان می‌دهد.

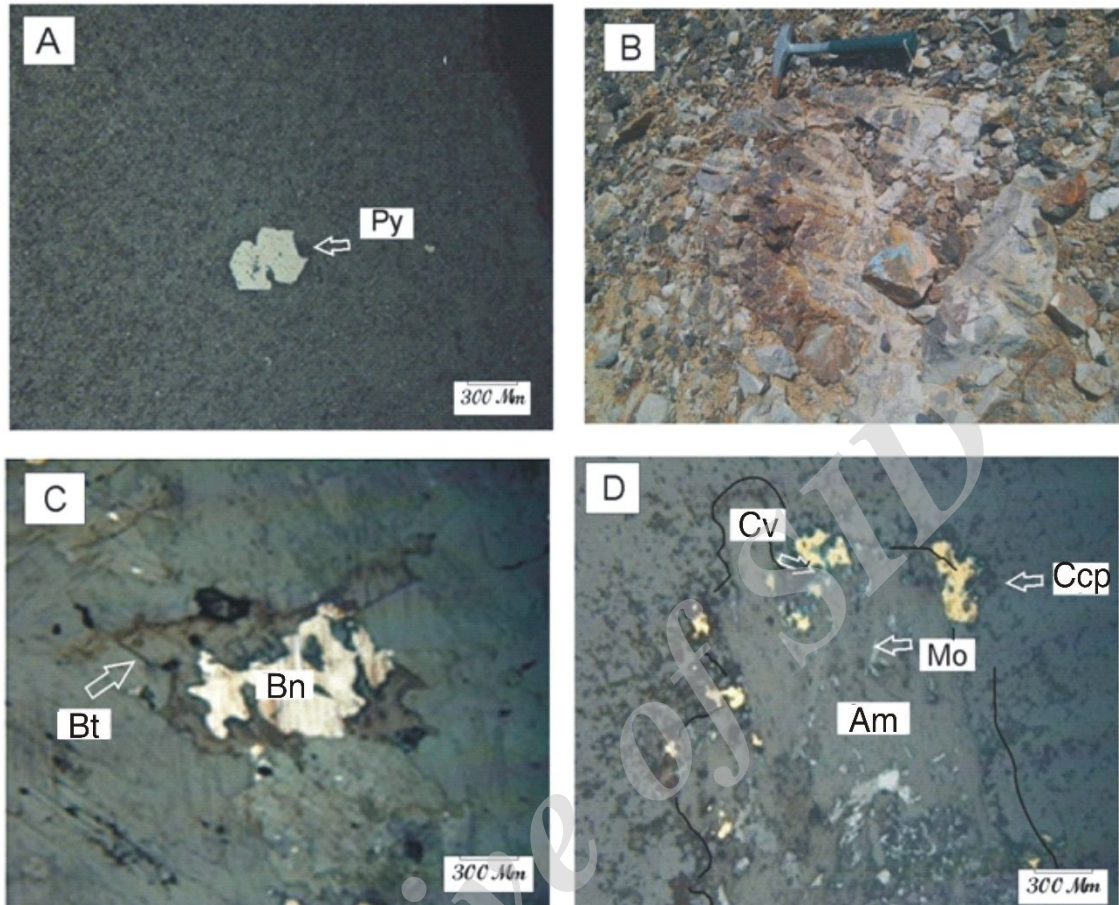
ظفرقدن هستند. دایک‌های آندزیتی-بازالتی سین‌پلوتونیک یا نسل دوم نیز سنگ‌های گرانوڈیوریتی را قطع کرده‌اند و از لحاظ سنی جوان‌تر یا هم سن آنها هستند (Sadeghian and Ghaffary, 2011).

گرانوڈیوریت‌ها نیز با سن میوسن (19-21 Ma) (Chiu, et al., 2013) دارای بافت میکروگرانوولار پوروفیری هستند. کانی‌های اصلی شامل کوارتز، پلازیوکلاز، ارتوکلاز، هورنبلند سیز، پیروکسن، بیوتیت و کانی‌های فرعی شامل اسفن و آپاتیت به همراه کانی‌های کدر در این سنگ‌ها یافت می‌شوند. در این گرانوڈیوریت‌ها، انکلاوهای میکروگرانولار مافیک زیادی در



شکل ۱. نقشه زمین‌شناسی منطقه مورد بررسی A: موقعیت کانسار ظفرقدن در نقشه ۱:۱۰۰۰۰۰ اردستان (Radfar, 1998) و B: نقشه زمین‌شناسی کانسار مس ظفرقدن (Aminoroayaee Yamini, et al., 2016a). چنان‌که مشاهده می‌شود منطقه مورد بررسی اساساً از سنگ‌های آتشفسانی ائوسن تشکیل شده است که گرانوڈیوریت‌های میوسن در آن نفوذ کرده‌اند.

Fig. 1. Geological map of the studied area A: location of Zafarghand deposit in 1:100000 map of Ardestan (Radfar, 1998), and B: geological map of Zafarghand copper deposit (Aminoroayaee Yamini, et al., 2016a). The study area is mainly composed of Eocene volcanic rocks, which were intruded by a Miocene granodiorite suite.



شکل ۲. A: حضور پیریت در دایک آندزیتی، B: برش گرمابی در میان گرانودیوریت پاتاسیک، C: جانشینی بیوتیت توسط بورنیت و D: جانشینی آمفیبول توسط کانی‌های کالکوپیریت، کولیت و مولیبدنیت در کانسار مس ظفرقد (Yamini, et al., 2016b) (Py = پیریت، Kretz, 1983) (Bt = بیوتیت، Bn = بورنیت، Am = آمفیبول، Ccp = کالکوپیریت، Cv = کولیت، Mo = مولیبدنیت، علامی اختصاری کانی‌ها از Kretz, 1983)

Fig. 2. A: development of pyrite in andesitic dyke, B: hydrothermal breccia within potassic granodiorites, C: Biotite replaced by bornite, and D: Amphibole replaced by chalcopyrite, covellite and molybdenite in Zafarghand copper deposit (Aminoroayaie Yamini, et al., 2016b). Py= Pyrite, Bt= Biotite, Bn= Bornite, Am= Amphibole, Ccp= chalcopyrite, Cv= Covellite, Mo= Molybdenite. Abbreviations after Kretz (1983)

(تعداد ۱۸ بلور پلازیوکلاز) انجام شد. به دلیل حجم بالای داده‌ها در این پژوهش، سعی شده است تا تنها تعدادی از نمونه‌های نماینده به صورت جدول‌های ۲ و ۳ ارائه شوند. درشت‌بلورهای پلازیوکلاز از هسته به سمت حاشیه مورد آنالیز قرار گرفتند. آنالیزها در آزمایشگاه‌های ریز کاو الکترونی دانشگاه‌های ناروتو ژاپن و اکلاهمای امریکا انجام شد. تجزیه دستگاهی در دانشگاه ناروتو به کمک دستگاه ریز کاو الکترونی JEOL مدل-JXA 8800R و در شرایط ولتاژ شتابدهنده ۲۰KV، شدت جریان ۲۰ nA و زمان شمارش ۲۰ ثانیه و در دانشگاه اکلاهما

روش مطالعه

برای دستیابی به اهداف تعیین شده، تعداد ۲۰۰ نمونه از واحدهای سنگی مختلف برداشت شد که از میان آنها تعداد ۶۰ نمونه برای تهیه مقاطع نازک انتخاب شدند. برای بررسی دقیق ریزبافت‌های پلازیوکلاز از میکروسکوپ پلاریزان استفاده شد. ریزبافت‌های یادشده در شکل‌های ۴، ۵ و ۶ و جدول ۱ دیده می‌شوند. نمونه برداری برای تعیین نیم‌رخ‌های کانی‌شناسی ترکیبی از دو دسته از سنگ‌های منطقه شامل: ۱- سنگ‌های آتشفسانی (تعداد ۳ بلور پلازیوکلاز) و ۲- سنگ‌های نفوذی و نیمه نفوذی

از آنها میزان منطقه‌بندی نوسانی هستند (شکل‌های ۳-۵ و ۱). جدول ۲ و شکل ۵، نمونه 96ZA-1B را به عنوان نماینده‌ای از این بافت با ترکیب هسته An₂₄ میانگین ترکیب هسته تا حاشیه An₄₉ و ترکیب حاشیه An₂₃ نشان می‌دهد. شکل ۳-۵ بافت بلورهای همراه (T4) را در این سنگ‌ها نشان می‌دهد. همچنین سطوح جذب دوباره در پلازیوکلازهای میزان با ضخامت $50 \mu\text{m}$ تا $200 \mu\text{m}$ به صورت شبکه‌ای از ادخال‌های شیشه (مذاب) در سایز میکرون دیده می‌شود (شکل‌های ۳-C و ۶، جدول‌های ۱ و ۲ و نمونه 82ZA-3C-1-7). حاشیه همه این بلورها کاملاً واضح و اغلب دارای بلورهای شکل‌دار تانیمه شکل‌دار هستند.

در شرایط ولتاژ ستاتدنه ۱۹.۹KV و شدت جریان ۲۰ nA زمان شمارش ۲۰ ثانیه انجام شد.

بحث

انواع پلازیوکلازها

پلازیوکلاز فراوان‌ترین درشت‌بلور در سنگ‌های نفوذی ظفرقد است و بیش از ۷۰ درصد حجمی سنگ را تشکیل می‌دهند. بر اساس طبقه‌بندی دیر و همکاران (Deer et al., 1991)، پلازیوکلازهای موجود در گرانوڈیوریت‌ها طیف ترکیب وسیعی از آلتیت تا آنورتیت دارند. بر اساس ترکیب و بافت، اغلب می‌توان آنها را به سه بخش تقسیم کرد. بیشتر از ۲۰ درصد

جدول ۱. شکل شماتیک و تفسیر انواع ریزیافت‌های موجود در پلازیوکلازهای منطقه ظفرقد

Table 1. Schematic representation and interpretation of the various micro-textures observed in plagioclase of Zafarghand

Description	Texture	Interpretation	Granodiorite	Dacitic dyke	Rhyodacite
Oscillatory-zoned	T1	Convection driven physical-chemical perturbation at the crystal-melt interface	M	〃	A
Coarsely sieved	T2	Dissolution by varying rate of adiabatic decompression of H ₂ O-undersaturated magma	T	〃	A
Resorption core	T3	Intense and prolonged dissolution while reacting with more primitive magma	M	T	〃
Synneusis	T4	Turbulent magmatic state related convection	〃	〃	A
Swallow-tail	T5	Rapid growth due to undercooling may be related to eruption process	T	A	M
Microlites	T6	Degassing or water exsolution driven undercooling may be related to eruption process	A	M	A
Broken crystal	T7	Decompression related forcefull aerial eruption	〃	T	M

Notes: M>20%, 20%> m >1%, T<1%; A = absent

لابرادوریت هستند (شکل ۴-A و جدول ۳). ریزبلورهای پلازیوکلاز بیش از ۵۰ درصد حجمی از این دایک‌ها را تشکیل

بر اساس طبقه‌بندی دیر و همکاران (Deer et al., 1991) پلازیوکلازهای موجود در دایک‌های آندزیتی از نوع

An_{0.7} کاهش می‌یابد. سپس در محدوده منطقه‌بندی نوسانی تا An_{2.1} (نقاط ۴ و ۵) افزایش می‌یابد و به‌سمت حاشیه بلور تا ۱/۴ کاهش می‌یابد (نقاط ۶ و ۷). بدین ترتیب، مقادیر An و FeO در این بلور رفتار معکوس نشان می‌دهند. در سایر بلورهای دارای منطقه‌بندی نوسانی، بین مقادیر An و FeO رفتاری ناهمانگ وجود دارد که به تغییر مقادیر H₂O و (O₂)f مربوط می‌شود (Viccaro et al., 2010). نمونه 98ZA-223-225 (Deer et al., 1991) در گدازه‌های ریوداسیت، پلازیوکلازها در جدول ۳ معرفی شده است که در دایک آندزیتی حضور دارد (شکل ۴-B) و در جدول ۳. مقدار آنورتیت آن از An₇₈ در مرکز (نقشه ۲۲۵) تا در نقطه ۲۲۴ تغییر می‌کند. سپس به‌طور ناگهانی مقدار آن در حاشیه به An₇₈ (نقشه ۲۲۳) کاهش می‌یابد. در این بلور نیمرخ FeO نشان‌دهنده منطقه‌بندی نوسانی است؛ ولی این نیمرخ نسبت به نیمرخ An معکوس است.

در بیشتر نمونه‌ها (به غیر تعداد محدودی از آنها از جمله نمونه An₆₉ (82ZA-3C-1-7) مقدار An تغییرات وسیعی از An₂₃ تا An₄₈ در پلازیوکلازهای گرانوودیوریت، از An₈₂ تا در بلورهای دایک آندزیتی و از An₁₀ تا An₃₈ در پلازیوکلازهای ریوداسیتی نشان می‌دهد. بنابراین، پلازیوکلاز سنگ‌های آتش‌فشاری-نفوذی ظفرقد ممکن است در اثر فعل و انفعالات مقیاس بزرگ در اتاقک ماگما‌بی در شرایط سیستم باز متبلور شده باشد. فعل و انفعالات شیمیابی همراه با تغییرات ترکیب شیمیابی ماگما ممکن است در اثر تغییرات دما و ترکیب در طی تبلور پلازیوکلاز باشد (Singer et al., 1995; Hattori and Sato, 1996; Davidson and Topley, 1997; Topley et al., 1999; Topley et al., 2000; Davidson et al., 2001).

رفتار ناهمانگ FeO در این بلورها (شکل ۵) تأثیر تغییرات محتوای H₂O و به میزان کمتر (O₂)f را نشان می‌دهد (Viccaro et al., 2010).

چینه‌تگاری بافت‌ها

ریزبافت‌های موجود در پلازیوکلازهای ظفرقد را می‌توان به دو گروه زیر تقسیم کرد:

می‌دهند و به صورت دانه‌های سوزنی شکل با طول ۲۰ μm ۱۵۰ μm و عرض ۱۰ μm تا ۳۰ μm و با ترکیب An₄₈ در نمونه نماینده ZA98-226-Mic دیده می‌شوند (جدول‌های ۱ و ۳ و شکل ۴-C). درشت‌بلورهای پلازیوکلاز که در این دایک‌ها دیده می‌شوند، قطری از ۱۰۰ تا ۲۰۰ میکرومتر دارند و دارای بافت غربالی درشت هستند (شکل ۴-B و جدول‌های ۱ و ۳، نمونه ZA98-223-225) که به صورت شبکه وسیعی از ادخال‌ها در بخش داخلی بلورها دیده می‌شود و ترکیب آنها همراه با منطقه‌بندی نوسانی تغییر می‌کند.

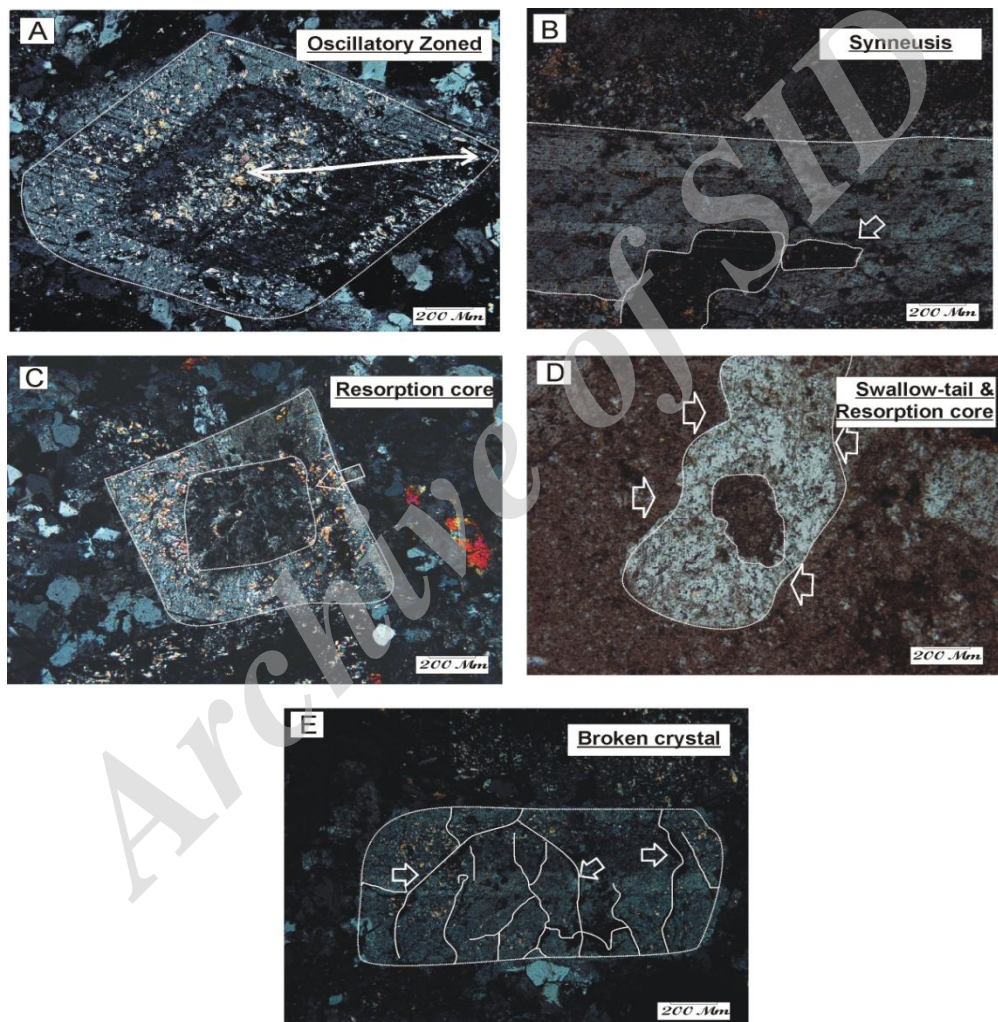
در گدازه‌های ریوداسیت، پلازیوکلازها در جدول ۴-۲۵ درصد حجمی از سنگ را تشکیل می‌دهند. بر اساس طبقه‌بندی دیر و همکاران (Deer et al., 1991) پلازیوکلازهای موجود در این گدازه‌ها دارای ترکیبی از آلیت تا بیتونیت هستند. بسیاری از این کانی‌ها به صورت شکسته با ظاهر ترک خورده دیده می‌شوند (شکل ۴-E). احتمالاً این بلورها در طول صعود یا جایگزینی شکسته شده‌اند؛ زیرا مناطق با خردش‌گی بیشتر در بلور دارای مقادیر بالاتر است. نمونه 102ZA-38-40 به عنوان نماینده این گروه دارای ترکیب هسته An₂₉ و حاشیه An₃₈ است (جدول ۴-۳). بافت دم پرستویی و سطوح جذب دوباره، افق‌هایی هستند که در این سنگ‌ها در بین سایر فازها دیده می‌شوند (شکل ۴-D و جدول ۱).

ترکیب نیمرخ‌های کانی‌شناسی

شکل ۵، نیمرخ‌های کانی‌شناسی هسته تا حاشیه بلور نیمه شکل دار پلازیوکلاز (96ZA-1B) در میزبان گرانوودیوریتی را که دارای منطقه‌بندی نوسانی است، نشان می‌دهد. چنان‌که دیده می‌شود مقادیر آنورتیت (An) و FeO تغییرات هم‌زمان نشان می‌دهند؛ ولی ناگهان در نقطه ۷ مقدار FeO کاهش می‌یابد. همچنین بلور 82ZA-3C سطوح جذب دوباره و منطقه‌بندی نوسانی است (شکل ۶). تغییرات An نشان می‌دهد که در منطقه جذب از An_{2.2} در هسته تا وسط بلور An_{1.8} تغییر می‌کند و ناگهان میزان آنورتیت تا

اختیار قرار دهد. همچنین اندازه درشت‌بلورها می‌تواند نشان‌دهنده ترتیب رخداد بلور باشد (Marsh, 1998; Yu et al., 2012). بدین ترتیب می‌توان درشت‌بلورهای پلازیوکلاز ظرف‌قند را از نظر اندازه به دو گروه بلورهای جوان دانه ریز ($>100 \mu\text{m}$) و بلورهای قدیمی‌تر دانه درشت ($<30 \mu\text{m}$) تقسیم کرد.

- ۱) بافت‌های هم‌زمان با رشد بلورها: که در زمان تعادل بلور مذاب در اثر تغییرات دما، H_2O , فشار و یا ترکیب ماقمایی به وجود آمده‌اند.
- ۲) بافت‌های مورفولوژیکی: که در اثر فرآیندهای دینامیکی مثل گاززدایی و فوران انفجاری به وجود آمده‌اند. چینه‌نگاری آنها می‌تواند اطلاعات با ارزشی در مورد مراحل بلور ماقمایی در



شکل ۳. A: درشت‌بلور پلازیوکلاز دگرسان‌شده نشان‌دهنده بافت نوسانی (T1) در گرانودیوریت ظرف‌قند، B: بافت بلورهای همراه (T4) در گرانودیوریت پورفیری، C: فنوکریست پلازیوکلاز دانه متوسط شکل‌دار نشان‌دهنده مرکز جذب (RC) در گرانودیوریت، D: پلازیوکلاز نشان‌دهنده بافت دم پرستویی (جهت پیکان) (T5) همراه با سطوح جذب در ریوداسیت و E: بلورهای شکسته شده پلازیوکلاز (T7) در ریوداسیت‌های کانسار طفرقند

Fig. 3. A: altered plagioclase phenocryst displaying significant oscillatory textures (T1) hosted in the granodiorite of Zafarghand, B: synneusis texture (T4) in granodiorite porphyry, C: euhedral medium-grained plagioclase phenocryst showing resorbed core (RC) in granodiorite, D: Plagioclase showing swallow-tail texture (thick arrow) (T5) with resorption surfaces in rhyodacite, and E: broken plagioclase phenocryst (T7) in rhyodacites of Zafarghand deposit

جدول ۲. نتایج تجزیه ریزکاو الکترونی (بر حسب درصد وزنی) و بازسازی فرمول تجزیه پلاژیوکلазهای گرانودیوریت منطقه ظفرقد

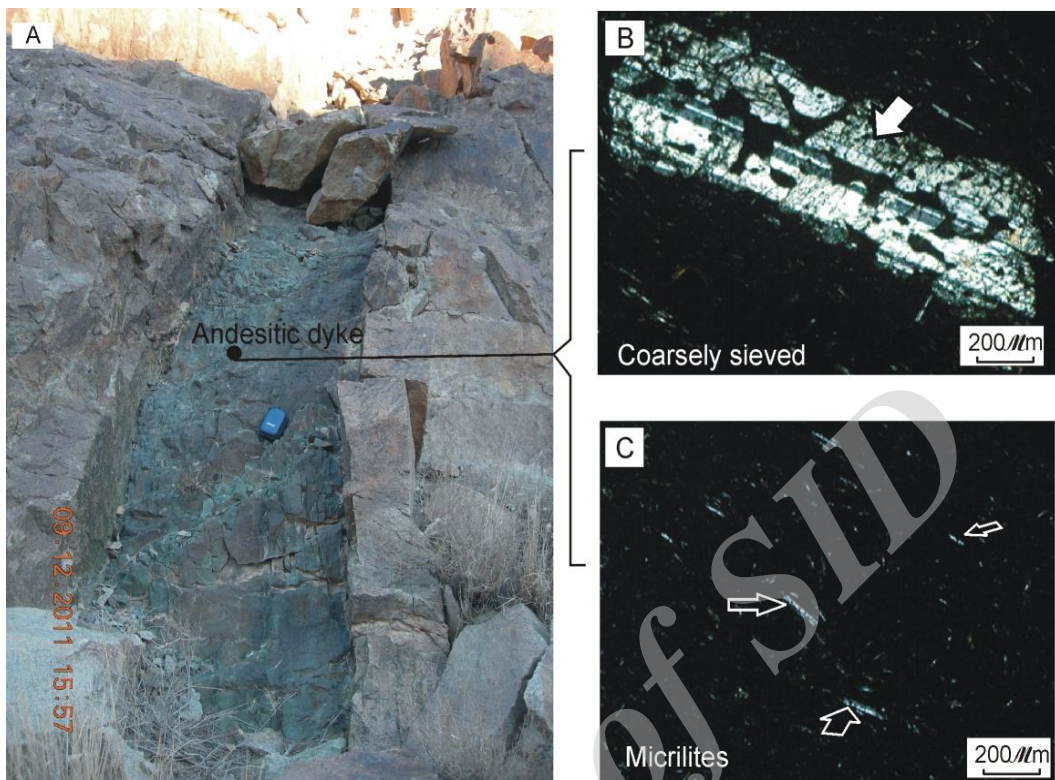
Table 2. Representative EPMA of chemical composition (wt%) and calculated formula of plagioclase in granodiorites, at the Zafarghand area

Sample		96ZA-1B				82ZA-3C-1-7					
Position	Core	1B-5	1B-6	1B-7	Rim	Core	3C-3	3C-4	3C-5	3C-6	Rim
SiO ₂	61.3	56.5	54.3	53.7	61.9	68.3	69.1	68.6	67.2	66.5	68.1
TiO ₂	0.03	0.02	0.07	0.13	0.01	0	0	0	0	0	0
Al ₂ O ₃	22.3	27.1	27.8	28.4	23.1	20.2	19.9	20.1	20.7	20.6	20.3
Cr ₂ O ₃	0.01	0.02	0.02	0	0.01						
FeO	0.25	0.21	1.01	0.86	0.22	0.03	0.04	0.04	0.11	0.05	0.09
MnO	0.04	0	0	0	0	0	0	0	0	0	0.02
MgO	0	0	0.01	0.02	0.02	0	0	0	0.04	0.02	0.02
CaO	4.99	9.23	10.64	9.54	4.94	0.49	0.15	0.46	0.45	0.29	0.31
BaO	0	0	0	0	0	0	0	0.01	0	0.01	0
Na ₂ O	7.9	5.86	5.23	4.81	8.33	11.45	11.4	11.34	10.98	11.19	11.41
K ₂ O	1.32	0.35	0.25	0.36	0.73	0.08	0.09	0.12	0.45	0.22	0.22
sum	98.1	99.3	99.4	97.9	99.3	100.5	100.7	100.6	99.9	98.8	100.5
Structural formula calculated based on 8 oxygen atoms											
Si	2.33	2.14	2.07	2.07	2.33	2.5	2.53	2.51	2.48	2.47	2.5
Ti	0	0	0	0	0	0	0	0	0	0	0
Al	1	1.21	1.25	1.29	1.02	0.87	0.86	0.87	0.9	0.91	0.88
Cr	0	0	0	0	0						
Fe ³⁺	0.87	0.86	0.87	0.88	0.86	0.84	0.83	0.84	0.84	0.85	0.84
Fe ²⁺	0.01	0.01	0.03	0.03	0.01	0	0	0	0	0	0
Mn	0	0	0	0	0	0	0	0	0	0	0
Mg	0	0	0	0	0	0	0	0	0	0	0
Ca	0.2	0.37	0.43	0.39	0.2	0.02	0.01	0.02	0.02	0.01	0.01
Ba	0	0	0	0	0	0	0	0	0	0	0
Na	0.58	0.43	0.39	0.36	0.61	0.81	0.81	0.81	0.79	0.81	0.81
K	0.06	0.02	0.01	0.02	0.04	0	0	0.01	0.02	0.01	0.01
An	23.92	45.57	52.14	51.13	23.65	2.29	0.74	2.17	2.17	1.4	1.45
Ab	68.6	52.4	46.4	46.6	72.2	97.3	98.8	97.1	95.3	97.3	97.3
Or	7.51	2.05	1.44	2.28	4.17	0.45	0.5	0.69	2.57	1.28	1.26
Si+Ti+Al+Fe ³⁺	4.2	4.21	4.19	4.23	4.21	4.21	4.22	4.21	4.22	4.23	4.22
Ca+Na+K	0.85	0.82	0.83	0.77	0.84	0.84	0.82	0.83	0.83	0.83	0.83
Total	5.06	5.04	5.06	5.03	5.05	5.05	5.03	5.04	5.05	5.06	5.05

جدول ۳. نتایج تجزیه ریزکاو الکترونی (بر حسب درصد وزنی) و بازسازی فرمول تجربی پلازیوکلازهای موجود در دایک‌های آندزیتی و ریوداسیت‌های منطقه ظفرقند

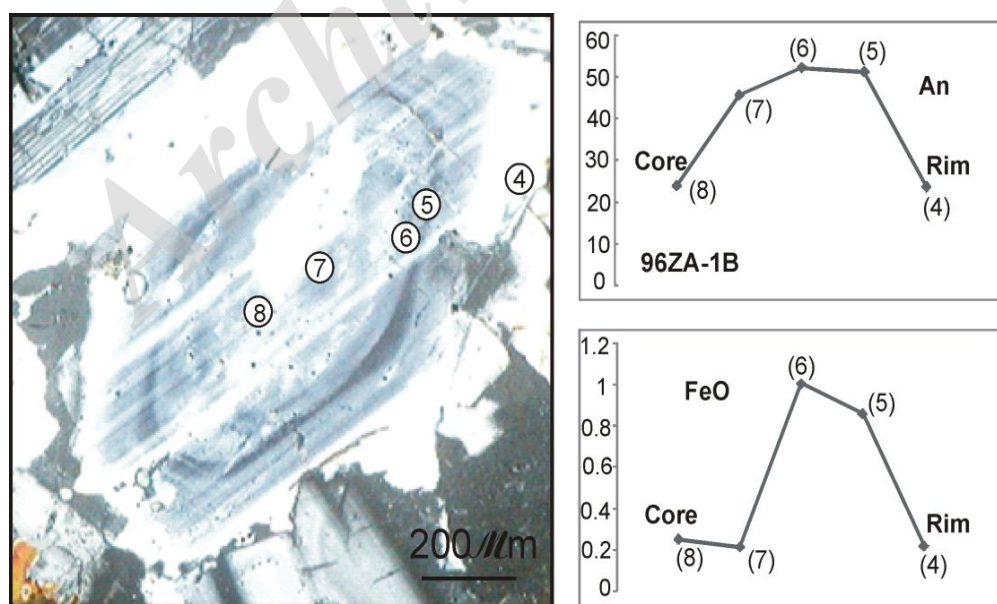
Table 3. Representative EPMA of chemical composition (wt%) and calculated formula of plagioclases in andesitic dykes and rhyodacites, at the Zafarghand district

Sample	98ZA -223-225			98ZA -226-Mic			102ZA -38-40		
	Position	Core	inner Rim	Rim	Core	inner Rim	Rim	Core	
SiO ₂	49.05	48.13	48.2		57.05	61.31	57.54	59.97	
TiO ₂	0.05	0.01	0.04		0.2	0.02	0	0.05	
Al ₂ O ₃	31.92	32.39	32.49		25.49	24.27	25.49	24.06	
Cr ₂ O ₃	0	0	0		0	0	0	0	
FeO	0.83	0.7	0.74		0.91	0.15	0.05	0.13	
MnO	0.03	0.01	0.02		0.03	0	0	0	
MgO	0.09	0.1	0.11		0.06	0.01	0.02	0	
CaO	15.54	16.37	15.65		9.27	5.91	7.69	5.9	
BaO	0	0	0		0	0	0	0	
Na ₂ O	2.36	1.94	2.34		5.28	7.55	6.66	7.6	
K ₂ O	0.11	0.09	0.14		0.53	0.6	0.39	0.49	
SUM	99.98	99.74	99.73		98.82	99.82	97.84	98.2	
Structural formula calculated based on 8 oxygen atoms									
Si	1.88	1.85	1.85		2.17	2.29	2.2	2.27	
Ti	0	0	0		0.01	0	0	0	
Al	1.44	1.47	1.47		1.14	1.07	1.15	1.08	
Cr	0	0	0		0	0	0	0	
Fe ³⁺	0.87	0.88	0.88		0.87	0.85	0.87	0.87	
Fe ²⁺	0.03	0.02	0.02		0.03	0	0	0	
Mn	0	0	0		0	0	0	0	
Mg	0.01	0.01	0.01		0	0	0	0	
Ca	0.64	0.67	0.64		0.38	0.24	0.31	0.24	
Ba	0	0	0		0	0	0	0	
Na	0.18	0.14	0.17		0.39	0.55	0.49	0.56	
K	0.01	0	0.01		0.03	0.03	0.02	0.02	
An	77.98	81.91	78.05		47.65	29.11	38.07	29.14	
Ab	21.39	17.54	21.13		49.13	67.39	59.62	68	
Or	0.63	0.55	0.82		3.23	3.5	2.3	2.86	
Si+Ti+Al +Fe3=	4.2	4.2	4.2		4.19	4.22	4.22	4.22	
Ca+Na+K	0.82	0.82	0.83		0.79	0.81	0.83	0.82	
Total	5.05	5.05	5.06		5.02	5.03	5.05	5.04	



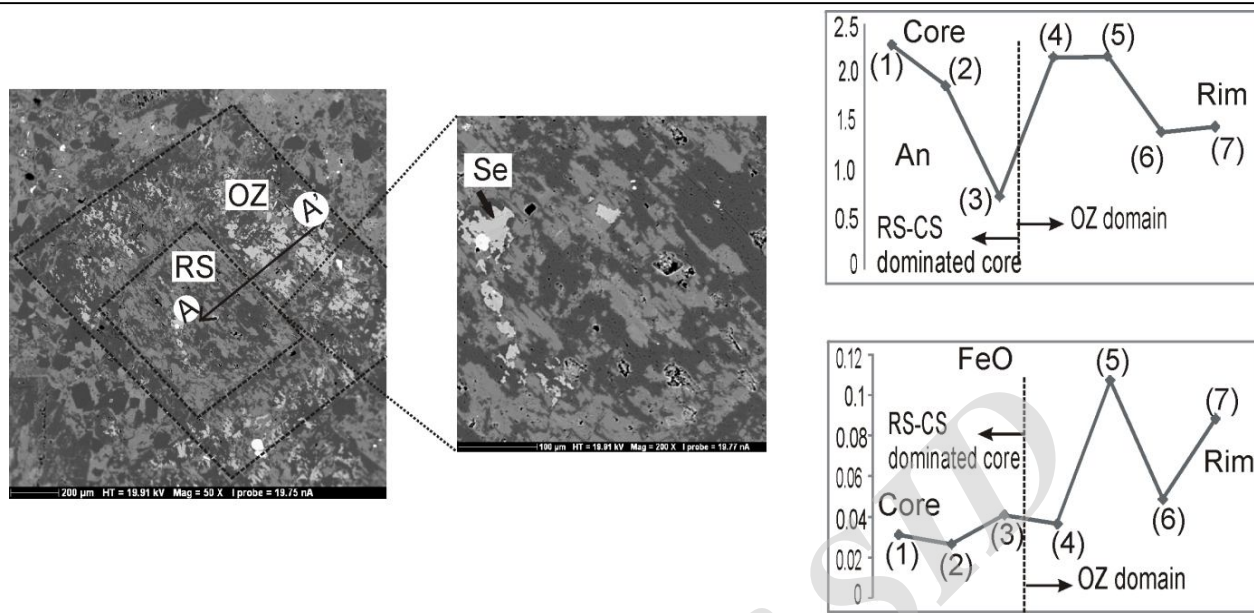
شکل ۴. A: دایک آندزیتی در منطقه ظفرقد، B: بافت غربالی (T2) در دایک آندزیتی و C: میکروولیت‌های پلازیوکلаз (T6) در دایک آندزیتی

Fig. 4. A: andesitic dyke in the Zafarhand area, B: coarse sieve texture (T2) in andesitic dyke, and C: plagioclase microlites (T6) in andesitic dyke



شکل ۵. نیمراه‌های کانی‌شناسی ترکیبی EPMA از هسته تا حاشیه برای بلورهای پلازیوکلاز در گرانودیوریت نشان‌دهنده منطقه‌بندی نوسانی (T1) مربوط به منطقه ظفرقد

Fig. 5. Core-to-rim EPMA compositional profiles for plagioclase crystal in granodiorite representative of oscillatory zoning (T1), associated with Zafarhand area



شکل ۶. تصویر SEM-BSE بلورهای پلازیوکلار دگرسانشده ظفرقند با ریزبافت‌های سطوح جذب دوباره (در هسته) تا منطقه‌بندی نوسانی (در بخش حاشیه) و عکس نزدیک از بخش مرکزی بلور، (Se: سریسیت). در سمت راست تصویر نیمیرخ‌های کانی‌شناسی ترکیبی EPMA برای An% و FeO wt.% از A (مرکز ۱، ۲ و ۳) تا A' (حاشیه ۴، ۵، ۶ و ۷) برای نمونه گرانووریوریت 82ZA-3C-1-7 دیده می‌شود.

Fig. 6. SEM-BSE image of Zafarghand altered plagioclase crystal with microtextures of resorption surface (core) to oscillatory zoning (outer) and inset of the central part of the crystal (Se: sericite). The A (core 1, 2, 3) to A' (rim, 4, 5, 6, 7) corresponding EPMA compositional profiles of An% and FeO wt.% for sample 82ZA-3C-1-7 in granodiorite is visible in the right of image.

بدین ترتیب که در مرحله اول، ماقمایی دما بالای اشباع از آب، در اتفاک ماقمایی پوسته زیرین متبلور می‌شود (منطقه مش عمیق در شکل ۷). در این مکان گارنت پایدار است (با توجه به مقادیر HREE و Y بالا در این سنگ‌ها) و پلازیوکلازهای غنی از An تشکیل می‌شود (شکل ۷).

زمانی که این ماقمایی غنی از بلور به سمت بخش‌های کم عمق صعود می‌کند، بلورها تحت تأثیر نسبت‌های مختلفی از انحلال-قرار می‌گیرند و بافت غربالی درشت هسته می‌یابد (شکل ۴-۵). تغییر در میزان انحلال و تشکیل این بافت ممکن است در اثر کاهش فشار یا محتوای H_2O در ماقمایی باشد (Viccaro et al., 2010).

سپس اتفاک ماقمایی پوسته از نظر دینامیکی در اثر ورود ماقمایی از زون مش کم عمق فعال می‌شود (شکل ۷). به دنبال آن رشد بلورهایی که از قبل وجود داشته و جدید آورده شده است،

هر یک از این ریزبافت‌ها در زمان خاصی به وجود آمده‌اند. بدین ترتیب که میکرولیت‌ها در مرحله آخر تبلور قبل از فوران در جریان سردشدن ماقمایی به وجود آمده‌اند. بافت شکسته در اثر کاهش فشار در مرحله پایانی به وجود آمده است. هسته‌های غنی از An در منطقه ظفرقند مربوط به بلورهای درشت حاوی بافت غربالی درشت هستند و این بیانگر آن است که بلورهای کوچک بعد از این بلورها به وجود آمده‌اند. در بعضی از بلورهای منطقه‌بندی نوسانی در اطراف بافت‌های غربالی درشت یا سطوح جذب دوباره قرار دارد که نشان می‌دهد بافت‌های غربالی درشت هست یا سطوح جذب دوباره بعد از منطقه‌بندی نوسانی تشکیل شده‌اند (شکل ۶).

مدل ژرف‌یابی و غنی‌شدن مس در کانسار ظفرقند
آن‌چه از بررسی ریزبافت‌های بالا دریافت می‌شود، بیانگر عملکرد مدل ژرف‌یابی ماقمایی در سیستم ماقمایی ظفرقند است.

(Tomkins and Mavrogenes, 2003) اظهار داشتند که مذاب‌های والد کانسارهای سولفید می‌توانند یون‌های سولفیدی را که ممکن است در حین صعود ماگما در پوسته حل شوند، با خود به همراه بیاورند. کر و همکاران (Core et al., 2006) پیشنهاد کردند نفوذی‌های مافیک زیر پوسته‌ای با کوموله‌های سولفیدی یا فرآیندهای دگرگونی تدفینی عمیق منابع متالوژنی احتمالی هستند که ذوب شده‌اند و به پوسته بالایی در شرایط فوگاسیته بالا انتقال یافته‌اند. پوسته زیرین ضخیم نیز ممکن است مقادیر بالایی سولفید Cu-Fe داشته باشد که نشانه جدایی سولفید است (Lee et al., 2012). پژوهش‌های اخیر نشان داده است نفوذی‌های آداسیتی سرچشم‌گرفته از ذوب‌بخشی پوسته زیرین ضخیم‌شده می‌تواند کانسارهای مس پورفیری عظیمی به همراه داشته باشد (Hou et al., 2011; Li et al., 2011) از مگمای احیا شده پیروتیت متبلور می‌شود که حاوی مقادیر بالایی از مس است.

پژوهش‌های اندکی نشان می‌دهد که پروتولیت مگمایی بعد از اشباع‌شدن از بخار، بی‌ثبات می‌شود و مس جدا شده در سیستم هیدرورتمال قرار می‌گیرد (Halter et al., 2005). بیشتر کانسارهای مس پورفیری اکسیدی (OPCDs) از نظر ژنتیکی به گرانیتوئیدهای نوع I دسته مگنتیتی با اکسیداسیون بالا نسبت داده می‌شود (Sillitoe, 2010; Cao et al., 2012) که مانع از تبلور پیروتیت می‌شود و کانی‌های با اکسیداسیون بالا مانند اندیزیت و هماتیت تشکیل می‌شوند (Cao et al., 2012). بنابراین فوگاسیته اکسیژن بالا برای انتقال حجم عظیمی از مس در مگما به سطح بالای پوسته مورد نیاز است. در حالی که، کانسارهای مس پورفیری احیایی بدون کانی‌های هماتیت اولیه، مگنتیت و اندیزیت و دارای پیروتیت هیپوژن و سیال غنی از CH₄ هستند و از نظر متالوژنی به گرانیتوئیدهای نوع I، احیا شده و دسته ایلمنیت نسبت داده می‌شوند (Rowins, 2000). حضور گرانودیوریت نوع I دسته مگنتیتی، نبود پیروتیت و حضور هماتیت و مگنتیت فراوان در ظفرقد بیانگر وجود کانسار مس پورفیری اکسیدی (OPCD) در منطقه است (Aminoroayaei et al., 2006).

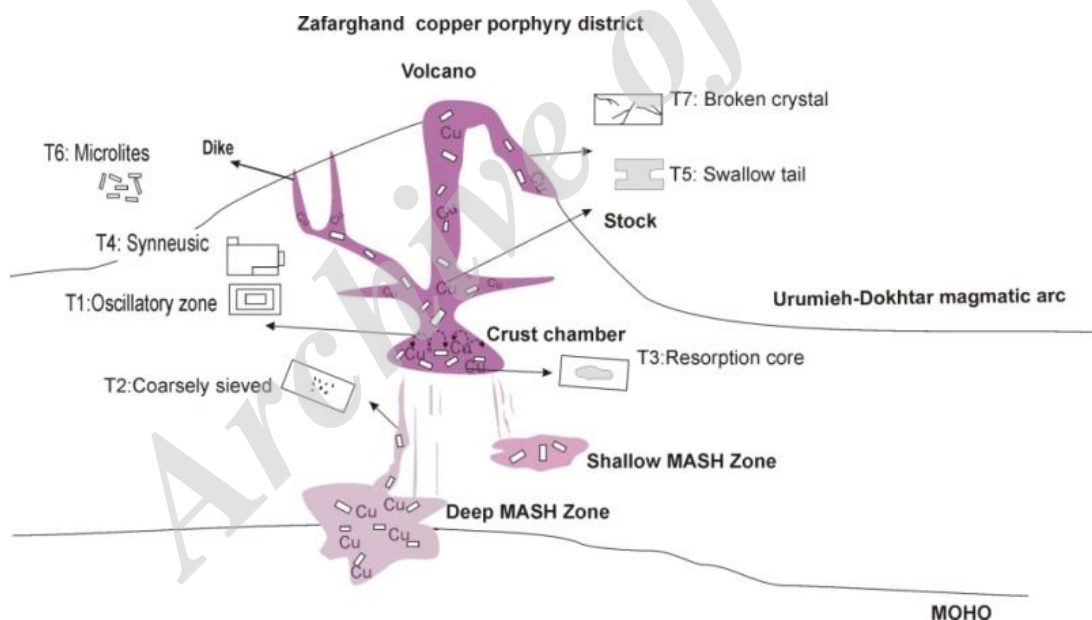
تحت تأثیر فرآیندهای همرفت و گرم‌شدن شدید قرار می‌گیرد. در نتیجه ریزبافت‌های منطقه‌بندی نوسانی و سطوح جذب توسعه می‌یابد و پدیده اتحلال در طول اختلاط مگمایی اتفاق می‌افتد. انکلاوهای میکرو-گرانولار مافیک و منطقه‌بندی نوسانی در گرانودیوریت‌های ظفرقد در اثر اختلاط مگمایی در این Sadeghian and Ghaffary, (2011; Aminoroayaei Yaminini, et al., 2016b) فرآیندی در سایر نفوذی‌های حاوی انکلاوهای مافیک در قسمت‌های مختلف جهان از جمله نیمسزا در جنوب‌غرب لهستان، استرالیا و جمهوری چک دیده شده است (Elburg, 1996; Janousek et al., 2004; Pietranik and Koepke, 2014). بنابراین قانع کننده است که پلازیوکلازهای دارای سطوح جذب دوباره محصول گرم‌شدن و اتحلال شدید ناشی از تزریق مگمایی مافیک باشند. چنین تزریق مگمایی می‌تواند شبیه به یک فرآیند اختلاط پنهان باشد که مقادیر کمی از مگمای مافیک تر، گرم‌تر، همراه با مقادیر متفاوتی در f(O₂) و H₂O به اتفاقک مگمایی پوسته‌ای تزریق شود (Ginibre et al., 2002). پس از تزریق مگمایی مافیک، بلورهای قدیمی در اتفاقک مگمایی پوسته با آن واکنش داده است و باعث اتحلال شدید و تشکیل پلازیوکلاز با سطوح جذب دوباره می‌شوند (شکل‌های ۳-۶). به علاوه با گرم‌شدن و اتحلال شدید، بلورها در اتفاقک مگمایی پوسته به صورت جریان‌های همرفت و متلاطم حرکت می‌کنند که نتیجه آن تشکیل منطقه‌بندی نوسانی در پلازیوکلازهاست (شکل‌های ۵ و ۶) (Ginibre et al., 2002).

سپس اتفاقک مگمایی ممکن است در اثر گاززدایی یا جدایش آب، سرد شود و در پی آن ریزبافت‌های دم پرستویی، میکرولیت و شکسته به وجود آیند.

از سویی بررسی‌های تغییرات جرم نشان می‌دهد که تشکیل کانسارهای مس پورفیری می‌تواند ناشی از جمع‌آوری قابل توجهی از مس در حجم عظیمی از مگما (Ulrich et al., 1999) یا غنی‌شدگی غیرعادی مگمای والد از مس (Core et al., 2006) و یا هردوی این عوامل باشد. تامکنیس و ماوروژن

ماگمای حاصل با محتوای آب نسبتاً کم به سطح بالای پوسته صعود کرده و پس از تفریق در عمق کم به صورت استوک پورفیری گرانودیوریتی در بین سنگ‌های ولکانیک و ساب ولکانیک جایگزین شده است (Robb, 2005). با تبلور توده نفوذی و تشکیل کانی‌های بدون آب، ماگمای باقی‌مانده از مواد فرار غنی‌شده (جوشش اولیه) و فشار بخار افزایش یافته است. با افزایش فشار هیدروستاتیک ناشی از بخار نسبت به فشار لیتوستاتیک، شکستگی‌ها و ریزشکستگی‌هایی در سنگ‌های بخش بالایی ایجاد شده است. این شکستگی و ریزشکستگی‌ها مجاری مناسبی را برای عبور سیالات فراهم کرده‌اند (شکل ۲-۲). (B).

Halter et al., 2016b (Yamini et al., 2005) بیان می‌کنند که منبع مس ۶۰۰ Mt در کانسار باجو دلا ppm آلومبررا، ماگمای مافیکی سرچشمه گرفته از گوشته بوده (Cu ۲۰۰) که با یک ماگمای ریوداسیتی در آشیانه ماگمایی در پوسته بالایی محلوت شده است. با توجه به حضور مذاب سولفیدی و میانبارهای غنی از سولفید در زمینه درشت‌بلورهای بیوتیت و آمفیبول (شکل ۲-C و D)، حضور آنکلاوهای میکروگرانولار مافیک و شواهد ژئوشیمیایی مبنی بر اختلاط ماگمایی (Sadeghian and Ghaffary, 2011) در منطقه ظفرقدن، به نظر می‌رسد مشابه این کانسار در منطقه ظفرقدن اتفاق افتاده است. بدین ترتیب که نفوذ بیشتر ماگمای مافیک، حجم عظیمی از فلزات کانه را در آشیانه ماگمایی تزریق کرده باشد.



شکل ۷. شکل شماتیک از سیستم ژرف‌بیابی ماگما و مراحل متبلورشدن انواع ریزبافت‌های پلازیوکلاز (T1 تا T7) برای سنگ‌های آتشفسانی-نفوذی کانسار مس پورفیری ظفرقدن

Fig. 7. Schematic illustrating of magma plumbing system and crystallization regime for different plagioclase microtextures (T1 to T7) of the volcano plutonic rocks in the Zafarghand copper deposit

مس پورفیری ظفرقدن است. ریزبافت‌های شناسایی شده در این پلازیوکلازها را می‌توان به دو بخش تقسیم کرد: ۱- بافت‌های مرتبط با رشد بلور از قبیل بافت غربالی درشت، منطقه‌بندی

نتیجه‌گیری

این پژوهش حاصل بررسی سیستماتیک روی ریزبافت‌ها و زونینگ $\text{An}\%-\text{FeO}$ در فنوکریست‌های پلازیوکلاز در کانسار

انحلال و اختلاط ماگمای مافیک‌تر در پوسته انجام شده است و احتمالاً مقادیر زیادی مس برای کانی زایی در این کانسار فراهم کرده است. ماگمای مادر با تبلور جزء به جزء پلاژیوکلاز غنی از آنورتیت در پوسته پایینی تولید می‌شود. سپس ماگما صعود می‌کند تا به یک اتفاقک ماگمایی نیمه عمیق در پوسته مواجه شود؛ جایی که بلورهای از قبل تشکیل شده و بلورهای جدید در حال رشد هستند. این بلورها به طور ذاتی در ماگما شناورند و تحت تأثیر فرآیندهای انحلال-رشد مجدد در یک محیط همرفتی کم عمق قرار دارند. چنین فرآیندهایی انواع پلاژیوکلازها را در سنگ‌های مورد بررسی به وجود آورده است. گاززدایی متناوب و فوران ناشی از افت فشار در مراحل نهایی تبلور، نقش اصلی دارد.

نوسانی و سطوح جذب که در شرایط تعادل در اثر تغییرات دما، H_2O ، فشار و یا ترکیب مذاب به وجود آمده‌اند و -۲- بافت‌های مورفلوژیکی شامل بلورهای همراه، بلورهای دم پرستویی، میکروولیت و بلورهای شکسته که در اثر رفتار دینامیکی در طول تبلور ماگما حاصل شده‌اند. هر کدام از بافت‌ها در محیط ماگمایی خاصی تشکیل شده‌اند. چینه‌نگاری ریز بافت‌ها به تصویری از توالی پیش‌رونده و سیستماتیک فرآیندهای ماگمایی کمک می‌کند. بر اساس این پژوهش و در تأیید پژوهش‌های قبلی در خصوص پدیده اختلاط ماگمایی و نحوه جایگزینی توده گرانیتوئیدی ظرف‌قد، مدل ژرف‌یابی ماگمایی برای سنگ‌های ولکانیکی-پلوتونیکی ظرف‌قد پیشنهاد می‌شود که تبلور در آشیانه ماگمایی پوسته‌ای اساساً توسط فرآیند رشد-

References

- Aminoroayaie Yamini, M., Furti, F. and Ahmadiam, J., 2016a. Hydrothermal alteration of the south west Zafarghand exploration district with reference to mineralogical and geochemical evolution. *Earth Science Research*, 25(7): 94–110. (in Persian)
- Aminoroayaie Yamini, M., Furti, F., Haschke, M., Ahmadiam, J. and Murata, M., 2016b. Synorogenic copper mineralization during the Alpine-Himalayan orogeny in the Zafarghand copper exploration district, Central Iran: Petrography, geochemistry and alteration thermometry. *Geological Journal*, 25(2): 263–281.
- Barca, D. and Trua, T., 2012. Magma emplacement at anomalous spreading ridge: Constraints due to plagioclase crystals from basalts of Marsili seamount (Southern Tyrrenian back-arc). *Journal of Volcanology and Geothermal Research*, 241–242(1): 61–77.
- Cao, M.J., Qin, K.Z., Li, G.M., Yang, Y.H., Evans, N.J., Zhang, R. and Jin, L.Y., 2014. Magmatic process recorded in plagioclase at the Baogutu reduced porphyry Cu deposit, western Junggar, NW-China. *Journal of Asian Earth Sciences*, 82: 136–150.
- Cao, M.J., Li, G.M., Qin, K.Z., Seitmuratova, E.Y. and Liu, Y., 2012. Major and Trace Element Characteristics of Apatites in Granitoids from Central Kazakhstan: Implications for Petrogenesis and Mineralization. *Resource Geology*, 62(1): 63–83.
- Chiu, H.Y., Chung, S.L., Zarrinkoub, M.H., Mohammadi, S.S., Katib, M.M. and Izuka, Y., 2013. Zircon U–Pb age constraints from Iran on the magmatic evolution related to Neotethyan subduction and Zagros orogeny. *Lithos*, 162–163(3): 70–87.
- Core, D.P., Kesler, S.E. and Essene, E.J., 2006. Unusually Cu-rich magmas associated with giant porphyry copper deposits: evidence from Bingham, Utah. *Geology*, 34(1): 41–44.
- Davidson, J.P. and Tepley, F.J., 1997. Recharge in volcanic systems: evidence from isotope profiles of phenocrysts. *Science*, 275(5301): 826–829.
- Davidson, J., Tepley, F.J., Palacz, Z. and Meffan-Main, S., 2001. Magma recharge, contamination and residence times revealed by in situ laser ablation isotopic analysis of feldspar in volcanic rocks. *Earth and Planetary Science Letters*, 184(2): 427–442.
- Deer, W.A., Howie, R.A. and Zussman, J., 1991. An introduction to rock forming mineral. Whiley, New York, 528 pp.
- Elburg, M.A., 1996. Evidence of equilibration between microgranitoid enclaves and host granodiorite, Warburton Granodiorite, Lachlan

- Fold Belt, Australia. *Lithos*, 38(1): 1–22.
- Gavanji, N., 2010. Investigation on the emplacement mechanism of the south of Zafarghand (Ardestan) granitoid pluton by AMS method. M.Sc. Thesis, Shahrood University of Technology, Shahrood, Iran, 238 pp. (in Persian)
- Ginibre, C., Kronz, A. and Wörner, G., 2002. High-resolution quantitative imaging of plagioclase composition using accumulated backscattered electron images: new constraints on oscillatory zoning. *Contributions to Mineralogy and Petrology*, 142(4): 436–448.
- Grove, T.L., Baker, M.B. and Kinzler, R.J., 1984. Coupled CaAl–NaSi diffusion in plagioclase feldspar: experiments and applications to cooling rate speedometry. *Geochimica et Cosmochimica Acta*, 48(10): 2113–2121.
- Halter, W.E., Heinrich, C.A., and Pettke, T., 2005. Magma evolution and the formation of porphyry Cu-Au ore fluids: Evidence from silicate and sulfide melt inclusions. *Mineralium Deposita*, 39(8): 845–863.
- Hattori, K. and Sato, H., 1996. Magma evolution recorded in plagioclase zoning in 1991 Pinatubo eruption products. *American Mineralogist*, 81(7): 982–994.
- Hou, Z., Zhang, H., Pan, X. and Yang, Z., 2011. Porphyry Cu (–Mo–Au) deposits related to melting of thickened mafic lower crust: examples from the eastern Tethyan metallogenic domain. *Ore Geology Reviews*, 39(1–2): 21–45.
- Janousek, V., Braithwaite, C.J.R., Bowes, D.R. and Gerdes, A., 2004. Magma mixing in the genesis of Hercynian calc-alkaline granitoids: an integrated petrographic and geochemical study of the Sazava intrusion, Central Bohemian Pluton, Czech Republic. *Lithos*, 78(1): 67–99.
- Kretz, R. (1983): Symbols for rock-forming minerals. *American Mineralogist*, 68: 277–279.
- Lee, C.T.A., Luffi, P., Chin, E.J., Bouchet, R., Dasgupta, R., Morton, D.M., Le Roux, V., Yin, Q.Z. and Jin, D., 2012. Copper systematics in arc magmas and implications for crust–mantle differentiation. *Science*, 336(6077): 64–68.
- Loomis, T.P. and Welber, P.W., 1982. Crystallization Processes in the Rocky Hill Granodiorite Pluton, California: An Interpretation Based on Compositional Zoning of Plagioclase. *Contributions to Mineralogy and Petrology*, 81(3): 230–239.
- Li, J.X., Qin, K.Z., Li, G.M., Xiao, B., Chen, L. and Zhao, J.X., 2011. Post-collisional orebearing adakitic porphyries from Gangdese porphyry copper belt, southern Tibet: melting of thickened juvenile arc lower crust. *Lithos*, 126(3–4): 265–277.
- Marsh, B.D., 1998. On the interpretation of crystal size distributions in magmatic systems. *Journal of Petrology*, 39(4): 553–599.
- Nasr Esfahani, A. and Vahabi Moghadam, B., 2010. Magmatic and tectonic setting of Oligocene in south of Ardestan. *Petrology*, 1(2): 95–108.
- Pietranik, A. and Koepke, J., 2014. Plagioclase transfer from a host granodiorite to mafic microgranular enclaves: diverse records of magma mixing. *Mineralogy and Petrology*, 108(5): 681–694.
- Radfar, J., 1998. Geological map of Ardestan 1:100000. Geological Survey of Iran, Tehran, Iran.
- Renjith, M.L., 2014. Micro-texture in plagioclase from 1994–1995 eruption, Barren Island volcano: evidence of dynamic magma plumbing system in Andaman subduction zone. *Geoscience frontiers*, 5(1): 113–126.
- Robb, L. 2004. Introduction to Ore-forming processes. Blackwell Publishing Company, Oxford, 373 pp.
- Rowins, S.M., 2000. Reduced porphyry copper–gold deposits: a new variation on an old theme. *Geology*, 28(6): 491–494.
- Sadeghian, M. and Ghaffary, M., 2011. The petrogenesis of Zafarghand granitoid pluton (SE of Ardestan). *Petrology*, 2(6): 47–70. (in Persian)
- Sillitoe, R.H., 2010. Porphyry copper systems. *Economic Geology*, 105(1): 3–41.
- Singer, B.S., Dungan, M.A. and Layne, G.D., 1995. Textures and Sr, Ba, Mg, Fe, K and Ti compositional profiles in volcanic plagioclase: clues to the dynamics of calc alkaline magma chamber. *American Mineralogist*, 80(7–8): 776–798.
- Tepley, F.J., Davidson, J.P. and Clyne, M.A., 1999. Magmatic interactions as recorded in plagioclase phenocrysts of Chaos Crags, Lassen Volcanic Center, California. *Journal of*

- Petrology, 40(5): 787–806.
- Tepley, F.J., Davidson, J.P., Tilling, R.I. and Arth, J.G., 2000. Magma mixing, recharge and eruption histories recorded in plagioclase phenocrysts from El Chichon Volcano, Mexico. *Journal of Petrology*, 41(9): 1397–1411.
- Tomkins, A.G. and Mavrogenes, J.A., 2003. Generation of metal-rich felsic magmas during crustal anatexis. *Geology*, 31(9): 765–768.
- Ulrich, T., Gunther, D. and Heinrich, C.A., 1999. Gold concentrations of magmatic brines and the metal budget of porphyry copper deposits. *Nature*, 399(6737): 676–679.
- Viccaro, M., Giacomoni, P.P., Ferlito, C. and Cristofolini, R., 2010. Dynamics of magma supply at Mt. Etna volcano (Southern Italy) as revealed by textural and compositional features of plagioclase phenocrysts. *Lithos*, 116(1–2): 77–91.
- Yu, H., Xu, J., Lin, C., Shi, L. and Chen, X., 2012. Magmatic processes inferred from chemical composition, texture and crystal size distribution of the Heikongshan lavas in the Tengchong volcanic field, SW China. *Journal of Asian Earth Sciences*, 58(9): 1–15.